

# Нелинейные АС и DC проводимости в двухподзонной структуре *n*-GaAs/AlAs

И. Л. Дричко<sup>+1)</sup>, И. Ю. Смирнов<sup>+</sup>, А. К. Бакаров\*, А. А. Быков\*, А. А. Дмитриев<sup>×</sup>, Ю. М. Гальперин<sup>+</sup><sup>°</sup>

<sup>+</sup>Физико-технический институт им. А. Ф. Иоффе, 194021 С.-Петербург, Россия

<sup>\*</sup>Институт физики полупроводников им. А. В. Ржанова Сибирского отделения РАН, 630090 Новосибирск, Россия

<sup>×</sup>Университет ИТМО, 197101 С.-Петербург, Россия

<sup>°</sup>Department of Physics, University of Oslo, P. O. Box 1048 Blindern, 0316 Oslo, Norway

Поступила в редакцию 30 апреля 2020 г.

После переработки 19 мая 2020 г.

Принята к публикации 19 мая 2020 г.

Изучены DC и AC проводимости структуры *n*-GaAs/AlAs с двумя заполненными уровнями пространственного квантования в широком интервале магнитных полей. Электронный спектр такой структуры характеризуется двумя подзонами (симметричной *S* и антисимметричной *AS*), разделенными энергетической щелью  $\Delta_{12} = 15.5$  мэВ. Показано, что в линейном режиме в магнитных полях  $B > 3$  Тл наблюдаются осцилляции, соответствующие режиму целочисленного квантового эффекта Холла (ЦКЭХ), сложная картина которых хорошо объясняется переходами между уровнями Ландау различных подзон. В магнитных полях  $B < 1$  Тл наблюдаются межподзонные осцилляции (MISO). Рост проводимости при увеличении тока через образец или интенсивности поверхностной акустической волны (ПАВ) в режиме ЦКЭХ определяется ростом температуры электронного газа. При межподзонных переходах установлено, что механизм нелинейности не сводится к разогреву, причем уменьшение AC проводимости при росте напряженности электрического поля ПАВ не зависит от частоты, но и не совпадает с характером зависимости DC проводимости от холловского напряжения  $E_y$ .

DOI: 10.31857/S123456782013008X

**1. Введение.** Электронный спектр полупроводниковых структур с двумя квантовыми ямами, с широкими квантовыми ямами, а также с двумя зонами пространственного квантования, минимумы которых находятся ниже уровня Ферми, характеризуется двухзонным спектром – двумя подзонами, разделенными энергетической щелью,  $\Delta_{12}$ . Взаимодействие между ними оказывает существенное влияние на базовые свойства двухподзонных систем, что приводит к появлению ряда новых магнетотранспортных явлений [1, 2], которые отсутствуют в одноподзонных системах. Например, в двухподзонной системе зависимость проводимости от  $1/B$  содержит не только периодические осцилляции Шубникова–де Гааза (ШдГ), частоты которых ( $f_1$  и  $f_2$ ) определяются концентрациями электронов в подзонах ( $n_1$  и  $n_2$ ), но еще и осцилляции с разностной частотой ( $f_1-f_2$ ). Эти осцилляции (английская аббревиатура MISO – *magneto-inter-subband oscillations*) обусловлены изоэнергетическими переходами, возникающими при пересечении уровней Ландау различных подзон. Резо-

нансный характер таких межподзонных переходов не зависит от положения уровня Ферми и поэтому MISO проявляются при более высоких температурах по сравнению с осцилляциями ШдГ [1]. MISO широко исследовались как теоретически [1, 3, 4, 5], так и экспериментально в одиночных и двойных GaAs квантовых ямах [6, 7]. Недавно они были обнаружены в HgTe квантовой яме с двумя заполненными спиновыми подзонами [8]. В квантующих магнитных полях в двухподзонных системах возникают не только целочисленный и дробный квантовые эффекты Холла [2, 9], но еще и коллективные электронные состояния, обусловленные антипересечениями уровней Ландау различных подзон [10, 11].

Необычно выглядят в таких структурах и неомические эффекты, проявляющиеся при увеличении тока через исследуемый образец в области малых магнитных полей, где наблюдаются межподзонные переходы [12–15]. Несмотря на многолетнюю историю исследования двухподзонных электронных систем, многие аспекты магнетотранспорта в них остаются до сих пор дискуссионными [16–18]. При наличии двух частично заполненных подзон картина осцил-

<sup>1)</sup>e-mail: irina.l.drichko@mail.ioffe.ru

ляций Шубникова–де Гааза (так же, как и картина целочисленного эффекта Холла) – очень сложная, и тоже требует специального исследования.

В настоящей работе исследовалась структура  $n$ -GaAs/AlAs с шириной ямы 26 нм и AlAs/GaAs барьераами из сверхрешеток. Транспортные свойства этой структуры на постоянном токе, как в линейном, так и в нелинейном режимах, были подробно исследованы в работах [15, 19, 20, 21, 22] в магнитных полях до 2 Тл. В этих работах было показано, что полная концентрация,  $n_{\text{tot}}$ , носителей заряда (электронов) равна  $8.13 \cdot 10^{11} \text{ см}^{-2}$ , так что верхний (второй) уровень пространственного квантования находится ниже уровня Ферми. Поэтому электронный спектр характеризуется двухподзонной системой (симметричной и антисимметричной подзонами) с энергетической щелью  $\Delta_{12} = 15.5 \text{ мэВ}$ . Концентрации носителей в подзонах различались в 3 раза: в симметричной подзоне  $n_1 = 6.2 \cdot 10^{11} \text{ см}^{-2}$ , а в антисимметричной –  $n_2 = 1.9 \cdot 10^{11} \text{ см}^{-2}$ , что было определено посредством Фурье-анализа осцилляций статической проводимости.

Цель настоящей работы – исследование влияния двухподзонного энергетического спектра на формирование картины осцилляций магнетотранспорта в магнитных полях до 14 Тл в линейном и нелинейном режимах. Измерения проводились с использованием двух методик: на постоянном токе (в полях до 14 Тл) и бесконтактного метода акустической спектроскопии (в полях до 8 Тл). Насколько нам известно, подобные измерения в двухподзональных структурах ранее не проводились. В частности, предполагалось изучить частотные зависимости AC проводимости в нелинейном режиме.

**2. Экспериментальные методы и результаты.** Использованные экспериментальные методы и актуальные диапазоны измеряемых величин проиллюстрированы на рис. 1. Более детальное описание можно найти, например, в работе [18].

Измерения на постоянном токе проводились на холловском мостике с размерами  $50 \times 450 \text{ мкм}^2$ ; причем компоненты магнетосопротивления  $\rho_{xx}(B)$  и  $\rho_{xy}(B)$  исследовались в полях до 14 Тл и температурах от 2.2 до 20 К в линейном и нелинейном режимах.

Поглощение и изменение скорости поверхности акустической волны (ПАВ) измерялись в магнитных полях до 8 Тл, при  $T = 1.7\text{--}15$  К в линейном и нелинейном режимах; частоты ПАВ,  $f$ , были 30, 86, 140, 198 и 253 МГц. При этом поверхностная акустическая волна (ПАВ) возбуждалась и принималась встречечно-штыревыми преобразователями IDT1 (interdigital transducer 1) и IDT2

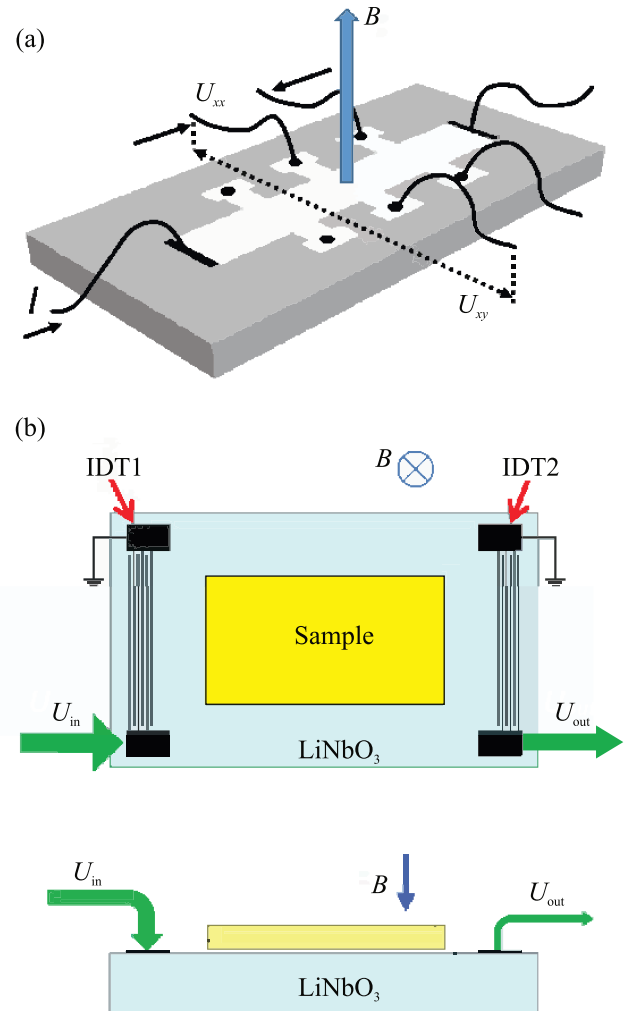


Рис. 1. (Цветной онлайн) Методики исследования и актуальные диапазоны параметров. (а) – Измерения на постоянном токе (Холловский мостик). Одновременные измерения  $\sigma_{xx}(B)$  и  $\sigma_{xy}(B)$ .  $B \leq 14 \text{ Тл}$ ,  $T = 2\text{--}20 \text{ К}$ . (б) – Акустическая методика. Определение AC проводимости  $\sigma_{xx}(\omega) \equiv \sigma_1 - i\sigma_2$ .  $B \leq 8 \text{ Тл}$ ,  $T = 1.7\text{--}15 \text{ К}$

(interdigital transducer 2), сформированными на поверхности кристалла ниобата лития. Между этими преобразователями прижимался с помощью пружины исследуемый образец. Распространение ПАВ (волны Релея) вдоль поверхности ниобата лития ( $U_{\text{in}}$  – входной сигнал,  $U_{\text{out}}$  – выходной сигнал) сопровождалось электрическим полем, которое проникало в образец и взаимодействовало с носителями заряда в проводящем канале. Измерялись поглощение и изменение фазы взаимодействующей с электронами ПАВ в зависимости от магнитного поля, температуры, частоты и интенсивности ПАВ. Из одновременно измеренных поглощения и изменения фазы по

формулам работы [18] можно определить реальную и минимую компоненты комплексной АС проводимости  $\sigma_{xx}(\omega) \equiv \sigma_1 - i\sigma_2$ .

На постоянном токе в исследуемом образце были измерены компоненты  $\rho_{xx}$  и  $\rho_{xy}$  тензора магнетосопротивления в зависимости от температуры и электрического тока через образец. Зависимости проводимостей  $\sigma_{xx}$  и  $\sigma_{xy}$  [пересчитанных из значений тензора магнетосопротивлений по формулам  $\sigma_{ik} = \rho_{ik}/(\rho_{xx}^2 + \rho_{xy}^2)$ ] от магнитного поля при  $T = 2.65$  К представлены на рис. 2.

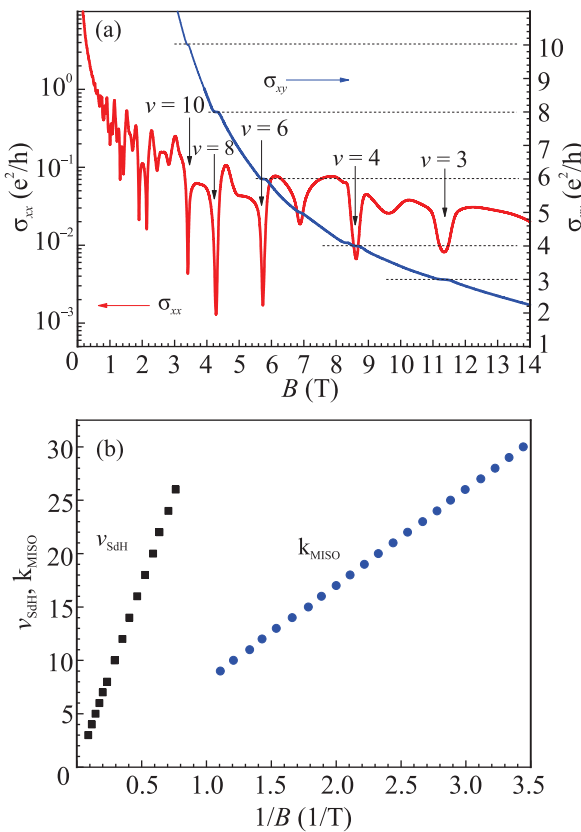


Рис. 2. (Цветной онлайн) (а) – Зависимости  $\sigma_{xx}$  и  $\sigma_{xy}$  от  $B$ ,  $T = 2.65$  К. Над осцилляциями проставлены значения чисел заполнения. (б) – Зависимость положений максимумов межподзонных осцилляций  $\sigma_{xx}$  ( $k_{MISO}$ ) и минимумов осцилляций ШдГ ( $\nu_{SdH}$ ) от обратного магнитного поля в диапазоне  $0 \leq B$ , Тл  $\leq 14$

Стрелки на рис. 2а, проведенные в центрах плато  $\sigma_{xy}$ , соответствуют  $\nu = 2\varepsilon_F/\hbar\omega_c$ , где энергия Ферми,  $\varepsilon_F$ , рассчитана для полной концентрации электронов,  $n_{tot}$ , в квантовой яме при  $B = 0$ , а  $\omega_c$  – циклотронная частота. Коэффициент 2 обусловлен учетом спинового расщепления уровней Ландау. Из рисунка 2 видно, что наблюдается сложная картина осцилляций, причем в магнитных полях 1–3 Тл

(рис. 2а) наблюдаются осцилляции ШдГ, выше 3 Тл – целочисленный квантовый эффект Холла, а в полях  $B < 1$  Тл – межподзонные осцилляции (рис. 2б). Далее мы обсудим эти области подробнее.

**Магнитные поля  $B > 1$  Тл. Линейный режим.** Сложную картину осцилляций  $\sigma_{xx}$  в этом образце удалось привязать к определенному числу заполнения  $\nu$  с помощью экспериментально определенных значений проводимостей  $\sigma_{xy}(B)$  на плато и их положений в магнитном поле при  $T = 2.65$  К. Эти значения совпадают с вычисленными по формуле  $\nu = 2\varepsilon_F/\hbar\omega_c$ .

Чтобы вычислить величину энергии Ферми и ее зависимость от магнитного поля для системы с двухподзонным энергетическим спектром, мы использовали известное выражение для концентрации электронов,  $n$ ,

$$n = \int \rho(\varepsilon) f_0(\varepsilon) d\varepsilon. \quad (1)$$

Здесь  $\rho(\varepsilon)$  – плотность электронных состояний, а  $f_0(\varepsilon) = [\exp(\frac{\varepsilon-\zeta}{k_B T}) + 1]^{-1}$  – функция распределения Ферми–Дирака,  $k_B$  – постоянная Больцмана,  $\zeta$  – химический потенциал;  $\zeta_{T \rightarrow 0}$  есть энергия Ферми.

В магнитном поле, пренебрегая столкновительным уширением уровней Ландау, плотность состояний можно записать в виде

$$\rho(\varepsilon) = \frac{eB}{2\pi\hbar c} \sum_{i=1,2} \sum_{s=\pm 1/2} \sum_{N=0}^{\infty} \delta[\varepsilon - \varepsilon_i - \hbar\omega_c(N + 1/2) - sg\mu_0 B]. \quad (2)$$

Здесь  $i$  – номер подзоны размерного квантования,  $\varepsilon_i$  – энергия минимума  $i$ -той подзоны,  $s = \pm 1/2$  – проекция спина на направление вдоль магнитного поля,  $g$  – фактор спектроскопического расщепления электронов,  $\mu_0$  – магнетон Бора. В квантующем магнитном поле,  $\hbar\omega_c \gg k_B T$ , можно заменить  $f_0(\varepsilon) \rightarrow \Theta(\varepsilon_F - \varepsilon)$ , после чего интеграл (1) вычисляется trivialально. Каждый полностью заполненный уровень Ландау с заданной проекцией спина дает вклад  $e/2\pi\hbar c$ , а уровень Ферми совпадает с верхним, частично заполненным уровнем Ландау.

На рисунке 3 построены “веера” уровней Ландау для двух подзон, рассчитанные из следующих входных данных: дно  $S$ -подзоны  $\varepsilon_1 \equiv 0$ , дно верхней подзоны  $\varepsilon_2 \equiv \Delta_{12} = 15.5$  мэВ;  $m^* = 0.067m_0$  – эффективная масса электронов в GaAs;  $g$  – фактор спектроскопического расщепления электронов ( $g = 1.3$ ). Опираясь на эту энергетическую диаграмму и модификацию выражения (1) для  $T = 0$ ,

$$n_{tot} = \int_0^{\varepsilon_F} \rho(\varepsilon) d\varepsilon, \quad (3)$$

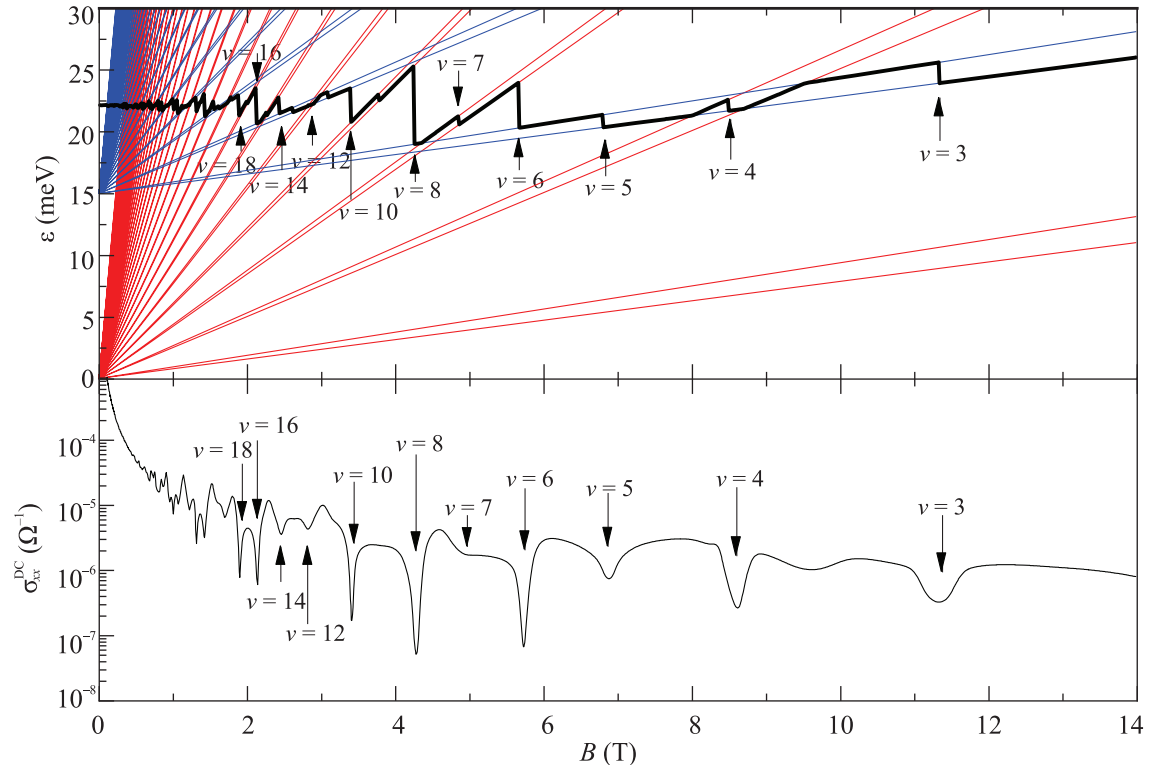


Рис. 3. (Цветной онлайн) Веера уровней Ландау для двух подзон. Красные линии – уровни Ландау для симметричной подзоны, уровни расщеплены по спину, синие линии – для антисимметричной подзоны,  $g$ -фактор  $g = 1.3$ . Черной линией обозначена зависимость уровня Ферми от магнитного поля

мы рассчитали энергию Ферми (см. рис. 3) для значения полной концентрации носителей заряда  $n_{\text{tot}} = 8.13 \cdot 10^{11} \text{ см}^{-2}$ . Так как энергию мы отсчитываем от дна  $S$ -подзоны, энергия Ферми при нулевом магнитном поле равна энергии Ферми в нижней подзоне (которая пропорциональна концентрации носителей в этой подзоне) и составляет  $\varepsilon_{F1} = 22 \text{ мэВ}$ . Рассчитанная зависимость энергии Ферми от магнитного поля представлена на рис. 3 черной линией.

Из сравнения верхней и нижней панелей рис. 3 видно, что положения минимумов осцилляций по магнитному полю, наблюдаемых в эксперименте и соответствующих четным числам заполнения ( $4, 6, 8, 10, \dots$ ), связаны со скачками уровня Ферми между разными подзонами (A и AS), а положения нечетных осцилляций ( $5, 7$ ) – со скачками между расщепленными по спину уровнями Ландау в каждой из подзон. Таким образом, приведенное выше построение дает возможность утверждать, что сложная картина осцилляций  $\sigma_{xx}$  связана со скачками уровня Ферми в магнитном поле между уровнями Ландау разных подзон.

Температурная зависимость проводимости изучалась бесконтактным акустическим методом.

На рисунке 4 представлены зависимости линейной AC проводимости от магнитного поля при раз-

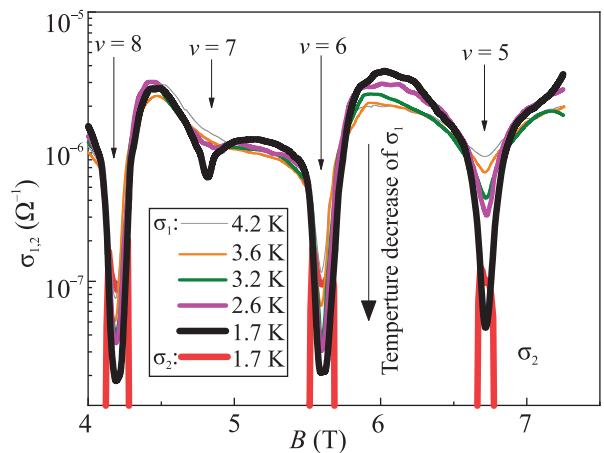


Рис. 4. (Цветной онлайн). Зависимости  $\sigma_1$  от магнитного поля  $B$  при разных температурах (К): 4.2, 3.7, 3.2, 2.7 и 1.7, и  $\sigma_2$  при  $T = 1.7 \text{ K}$ ;  $f = 86 \text{ МГц}$ . Направление стрелки соответствует уменьшению температуры

ных температурах. Из рисунка 4 видно, что при повышении температуры реальная компонента проводимости в режиме квантового эффекта Холла рас-

тет. При  $T = 1.7$  К в минимумах проводимости  $\sigma_2 > \sigma_1$ , а в промежутках между ними выполняется противоположное неравенство  $\sigma_2 \ll \sigma_1$ . Этот экспериментальный факт связан с тем, что в минимумах осцилляций в режиме квантового Холла носители заряда локализованы, и проводимость характеризуется прыжковым механизмом [23].

**Магнитные поля  $B > 1$  Тл. Область цепочисленного квантового эффекта Холла (ЦКЭХ). Нелинейный режим.**

На рисунке 5 представлены зависимости  $\sigma_1$  на частоте 30 МГц от температуры и интенсивности

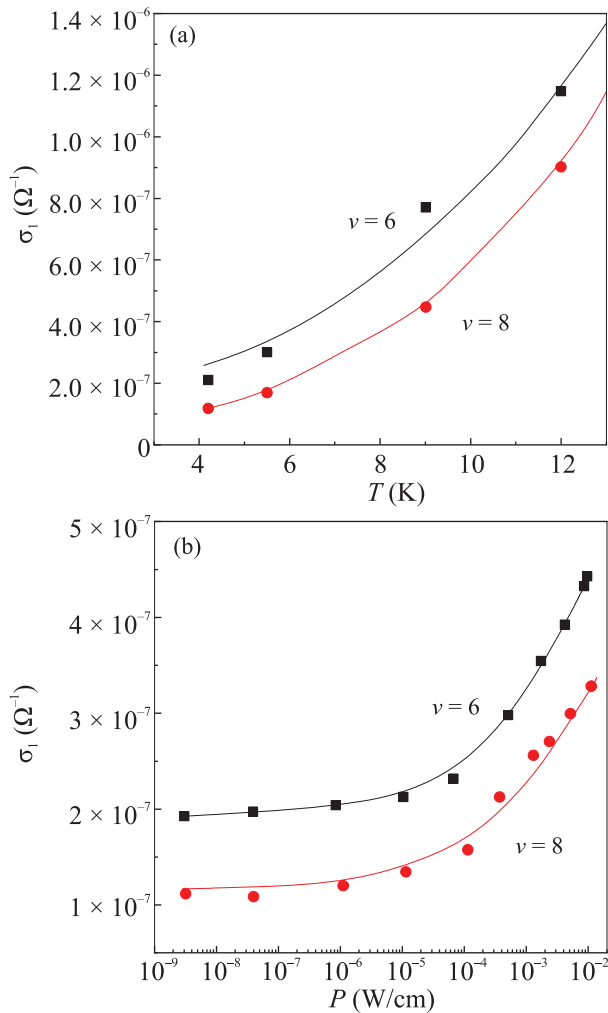


Рис. 5. (Цветной онлайн) (а) – Зависимость  $\sigma_1$  от температуры для  $\nu = 6$  и 8. (б) – Зависимость  $\sigma_1$  от интенсивности  $P$  (Вт/см) поверхности акустической волны на входе в образец.  $T = 4.2$  К;  $f = 30$  МГц

ПАВ на входе в образец при  $\nu = 6$  и 8, т.е. в режиме ЦКЭХ. Как видно из рисунка, в режиме целочисленного квантового эффекта Холла  $\sigma_1$  растет как при увеличении температуры (рис. 5а), так и росте

интенсивности ПАВ (рис. 5б). Обычно такую зависимость проводимости от интенсивности ПАВ связывают с разогревом электронного газа электрическим полем ПАВ. Сопоставление панелей (а) и (б) рис. 5 дает возможность оценить температуру разогрева. Оценка показывает, что при росте интенсивности почти до  $10^{-2}$  Вт/см электронная система, находящаяся при  $T = 4.2$  К, разогревается лишь до температуры  $\sim 7$  К. Нелинейные эффекты в DC-проводимости в режиме ЦКЭХ подробно исследованы и проанализированы в ряде работ, например [24, 25], в которых было установлено, что основным механизмом нелинейностей также является разогрев электронного газа постоянным электрическим полем.

Картина осцилляций  $\sigma_1$ , измеренная на постоянном токе в магнитных полях до 14 Тл в линейном режиме, представлена на рис. 2б; в малых магнитных полях период осцилляций гораздо больше, чем период осцилляций ШдГ. Поскольку под уровнем Ферми находятся 2 уровня пространственного квантования, можно ожидать, что это – межподзонные осцилляции. Если построить положения максимумов этих осцилляций от  $1/B$ , то можно определить  $\Delta_{12} = 15.5$  мэВ, что совпадает с результатами Фурье-анализа осцилляций магнетосопротивления при  $B < 1$  Тл.

#### Магнитные поля $B < 1$ Тл.

**Линейный режим.** Как отмечалось во вступлении, проводимость в малых магнитных полях также изучалась двумя способами: на постоянном токе и методом акустической спектроскопии. Экспериментальные зависимости  $\sigma_{xx}$  от магнитного поля в линейном режиме, измеренные на постоянном токе при разных температурах, представлены на рис. 6.

**Нелинейный режим.** Экспериментальные зависимости вещественной части  $\sigma_{xx}$  от магнитного поля в нелинейном режиме представлены на рис. 7.

Из рисунка 7 видно, что изменения проводимости при межподзональных переходах в нелинейном режиме при измерениях разными методами качественно подобны: с увеличением тока через образец или интенсивности акустической волны максимумы проводимости сменяются минимумами. Из сопоставления рис. 6 и 7б видно, что зависимости проводимости от температуры и от тока через образец (DC) имеют разный характер. А именно, при увеличении температуры проводимость слабо растет, а при увеличении электрического поля проводимость уменьшается, и при дальнейшем росте  $E$  максимумы проводимости сменяются на минимумы. Этот факт указывает, что механизм нелинейности при межподзональных переходах, по-видимому, не связан непосредственно с рос-

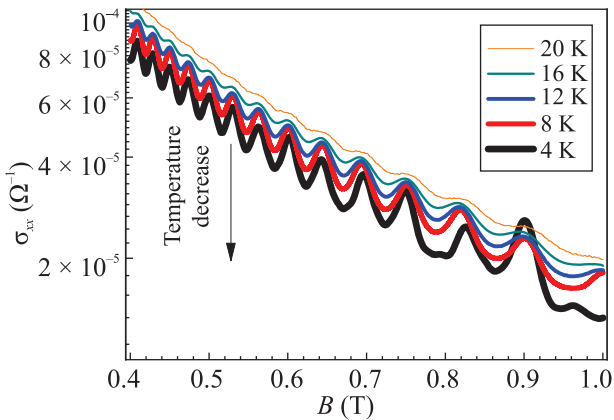


Рис. 6. (Цветной онлайн) Зависимости проводимости  $\sigma_{xx}$  от  $B$  в режиме межподзонных переходов при температурах  $T$ , К: 4, 8, 12, 16 и 20, измеренные на постоянном токе. Направление стрелки соответствует уменьшению температуры

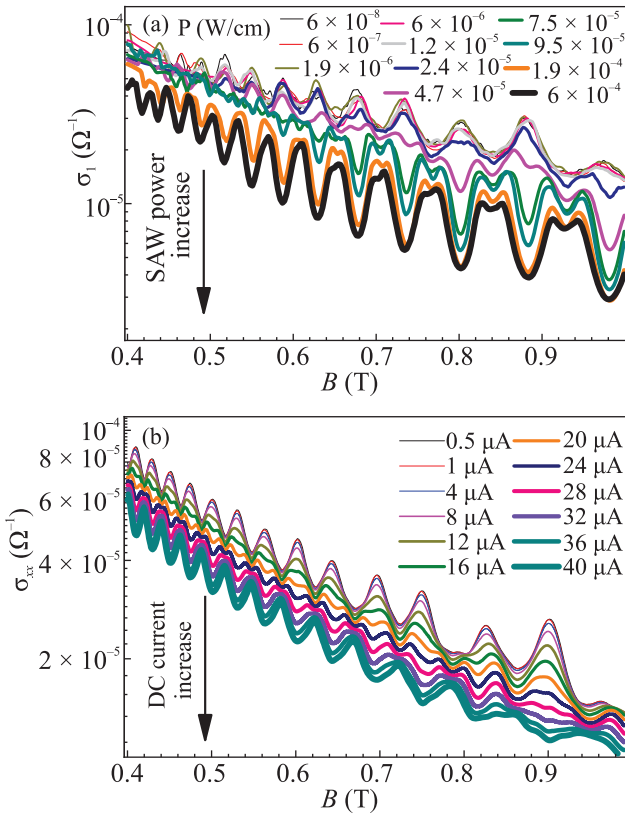


Рис. 7. (Цветной онлайн) Зависимости  $\sigma_1(B)$  при  $T = 4.2$  К: (а) – при разных интенсивностях ПАВ на входе в образец,  $f = 140$  МГц; (б) – на постоянном токе при разных токах через образец. Направления стрелок соответствуют росту интенсивности и тока на входе в образец

том температуры электронного газа, как это наблюдается в режиме квантового эффекта Холла.

Для сравнения характера нелинейных эффектов, исследованных разными методиками, на рис. 8 построены зависимости нормированной проводимо-

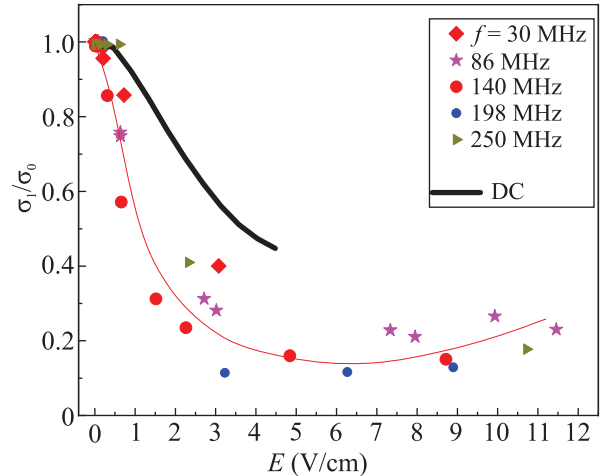


Рис. 8. (Цветной онлайн) Зависимость  $\sigma_1/\sigma_0$  от  $E$  на разных частотах ПАВ ( $f$ ) и на постоянном токе (DC) при  $B = 0.73$  Тл ( $k = 12$ ).  $\sigma_0$  – проводимость на той же частоте в линейном режиме

сти,  $\sigma_1/\sigma_0$ , от напряженности электрического поля  $E$ , приложенного к образцу для  $k = 12$  (для других  $k$  результаты аналогичны). В акустических измерениях  $E$  определялось по формуле (1) работы [26]. В DC – измерениях, где изменялся ток  $I_x$  через образец, поле  $\mathbf{E}$  имеет две компоненты:  $E_x = \rho_{xx}I_x/d$  и  $E_y = \rho_{yx}I_x/d$ , причем  $E_y \gg E_x$ . Значения  $E_x$  оказываются весьма малыми.

Из рисунка 8 видно, что зависимость  $\sigma_1/\sigma_0$  от  $E$ , измеренная акустическими методами, в пределах ошибки измерений не зависит от частоты ПАВ и отличается от зависимости  $\sigma_1/\sigma_0$  от  $E_y$ , измеренной на постоянном токе. Более того, в поле  $E > 6$  В/см отношение  $\sigma_1/\sigma_0$ , измеренное акустическими методами, начинает расти. Это, по-видимому, связано с ростом температуры электронного газа. Такой же эффект наблюдался, например, в работе [13], в которой на постоянном токе были использованы токи через образец, превышающие наши в 7 раз. Следует отметить, что характер нелинейного поведения  $\sigma_1$  в области межподзонных переходов аналогичен поведению проводимости сбалансированных систем.

**3. Обсуждение результатов.** Перечислим основные особенности обнаруженных нелинейных эффектов в статической и AC проводимости. К сожалению, количественная теория нелинейной AC проводимости для двухподзонных несбалансированных структур в настоящее время отсутствует. Поэтому мы ограничимся качественными соображениями.

Физическая картина нелинейных эффектов различна в различных областях магнитных полей.

- В магнитных полях  $B > 3$  Тл, где реализуется ЦКЭХ, за нелинейное поведение ответствен разогрев электронов приложенным электрическим полем – статическим либо высокочастотным, индуцированным распространяющейся акустической волной.
- В полях  $B < 1$  Тл, где в линейном режиме наблюдаются межподзонные осцилляции, нелинейное поведение проводимости более разнообразно. Следует, в первую очередь, отметить, что в статическом случае при пропускании тока генерируется заметное холловское поле, приводящее к модуляции эффективного фактора заполнения поперек образца [15]. По-видимому, это и есть главная причина зависимости нелинейной статической проводимости от пропускаемого тока, как и в работе [15].
- В случае, когда АС электрическое поле индуцируется распространяющейся акустической волной, макроскопических холловских полей не возникает. Причина заключается в том, что направления  $y$ -компонент протекающих токов противоположны в областях, соответствующих соседним полупериодам ПАВ. В итоге средняя  $y$ -компонента тока (а следовательно, макроскопическое холловское поле) равна нулю.

Нелинейное поведение в такой ситуации, по-видимому, объясняется т.н. *quantal heating* [27]. Именно так интерпретированы результаты ряда экспериментальных наблюдений [12, 13, 28, 29]. Обусловлен этот механизм квантованием электронного спектра в магнитном поле, в результате которого энергетическая зависимость плотности электронных состояний представляется системой узких пиков. Изменение относительного положения пиков плотности состояний, соответствующих разным подзонам, при изменении магнитного поля приводит к магнето-полевой зависимости вероятностей межподзонных переходов. В результате возникают осцилляции проводимости.

Вероятности межподзонных переходов зависят как от взаимного расположения пиков плотности состояний (совпадающих с уровнями Ландау), так и от разностей чисел заполнения этих состояний. С ростом величины электрического поля распределение электронов по энергиям становится все более неравновесным. Функ-

ция распределения электронов по энергиям при этом определяется уравнением диффузии, причем коэффициент диффузии по энергиям пропорционален квадрату электрического поля. Поэтому говорят о так называемой спектральной диффузии, приводящей к уменьшению разностей чисел заполнения начального и конечного состояний. Как показал количественный анализ [13] нелинейной статической проводимости, квантование спектра и неравновесность функции распределения “работают” в разные стороны – соответствующие вклады в проводимость имеют противоположные знаки. Именно поэтому с ростом величины электрического поля максимумы магнето-осцилляционной картины переходят в минимумы.

Детальная интерпретация наблюдавших явлений требует построения количественной нелинейной теории АС проводимости двухподзонной электронной системы во внешнем магнитном поле. Такая теория требует учета ряда явлений: квантования Ландау, упругого и неупругого рассеяния электронов друг на друге, структурных дефектах и фононах, а также ускорения электронов приложенным электрическим полем. Как уже отмечалось, достаточно подробный анализ статического случая выполнен в работе [27]. Мы надеемся, что полученные в данной работе экспериментальные результаты стимулируют развитие такой теории для АС проводимости.

**Заключение.** В работе впервые использована бесконтактная акустическая методика для исследования линейной и нелинейной высокочастотной проводимости в структуре  $n\text{-GaAs}/\text{AlAs}$  с двумя заселенными уровнями пространственного квантования (с разной концентрацией носителей), и поэтому обладающей двухподзонным энергетическим спектром. Показано, что нелинейное поведение АС проводимости двухподзонных структур заметно отличается от поведения стандартных структур с одним заполненным уровнем пространственного квантования.

В стандартных структурах линейная АС проводимость в режиме осцилляций ШдГ и изученном нами диапазоне частот не зависит от частоты ПАВ и совпадает с DC проводимостью. При росте температуры, интенсивности ПАВ или тока через образец эти осцилляции подавляются из-за роста температуры электронного газа.

В двухподзонах структурах линейные АС и DC проводимости тоже близки. В то же время, нелинейное поведение проводимостей существенно различается. Таким образом, изучение нелинейной АС

проводимости дает дополнительную информацию о магнето-проводимости квази-двумерного электронного газа.

Мы считаем, что главный результат данной работы – существенное различие поведения нелинейных AC и DC проводимостей – обусловлен важной ролью макроскопического холловского поля. Такое поле генерируется в статическом случае и отсутствует в высокочастотном. Как уже отмечалось, детальная интерпретация экспериментальных результатов данной работы требует существенного развития количественной теории нелинейной AC проводимости.

Работа частично поддержана грантами Российской фонда фундаментальных исследований № 19-02-00124 и 20-02-00309, а также Президиума РАН.

1. В. Поляновский, ФТП **22**, 2230 (1988).
2. G.S. Boebinger, H.W. Jiang, L.N. Pfeiffer, and K.W. West, Phys. Rev. Lett. **64**, 1793 (1990).
3. M.E. Raikh and T.V. Shahbazyan, Phys. Rev. B **49**, 5531 (1994).
4. N.S. Averkiev, L.E. Golub, S.A. Tarasenko, and M. Willander, J. Phys.: Condens. Matter **13**, 2517 (2001).
5. O.E. Raichev, Phys. Rev. B **78**, 125304 (2008).
6. D.R. Leadley, R. Fletcher, R.J. Nicholas, F. Tao, C.T. Foxon, and J.J. Harris, Phys. Rev. B **46**, 12439 (1992).
7. А.А. Быков, Д.Р. Исламов, А.В. Горан, А.И. Торопов, Письма в ЖЭТФ **87**, 563 (2008).
8. Г.М. Миньков, О.Е. Рут, А.А. Шерстобитов, С.А. Дворецкий, Н.Н. Михайлов, Письма в ЖЭТФ **110**, 274 (2019).
9. Y.W. Suen, L.W. Engel, M.B. Santos, M. Shayegan, and D.C. Tsui, Phys. Rev. Lett. **68**, 1379 (1992).
10. X.Y. Lee, H.W. Jiang, and W.J. Schaff, Phys. Rev. Lett. **83**, 3701 (1999).
11. X.C. Zhang, D.R. Faulhaber, and H.W. Jiang, Phys. Rev. Lett. **95**, 216801 (2005).
12. А.А. Быков, Письма в ЖЭТФ **88**, 70 (2008).
13. N.C. Mamani, G.M. Gusev, O.E. Raichev, T.E. Lamas, and A.K. Bakarov, Phys. Rev. B **80**, 075308 (2009).
14. S. Wiedmann, G.M. Gusev, O.E. Raichev, A.K. Bakarov, and J.C. Portal, Phys. Rev. B **84**, 165303 (2011).
15. S. Dietrich, S. Byrnes, S. Vikalov, A.V. Goran, and A.A. Bykov, Phys. Rev. B **86**, 075471 (2012).
16. I.L. Drichko, I.Yu. Smirnov, M.O. Nestoklon, A.V. Suslov, D. Kamburov, K.W. Baldwin, L.N. Pfeiffer, K.W. West, and L.E. Golub, Phys. Rev. B **97**, 075427 (2018).
17. А.А. Быков, И.С. Стрыйгин, А.В. Горан, И.В. Марчишин, Д.В. Номоконов, А.К. Бакаров, С.Албеди, С.А. Виткалов, Письма в ЖЭТФ **109**, 401 (2019).
18. А.А. Дмитриев, И.Л. Дричко, И.Ю. Смирнов, А.К. Бакаров, А.А. Быков, Письма в ЖЭТФ **110**, 62 (2019).
19. A.V. Goran, A.A. Bykov, A.I. Toropov, and S.A. Vitkalov, Phys. Rev. B **80**, 193305 (2009).
20. A.A. Bykov, A.V. Goran, and S.A. Vitkalov, Phys. Rev. B **81**, 155322 (2010).
21. W. Mayer, S. Vitkalov, and A.A. Bykov, Phys. Rev. B **96**, 045436 (2017).
22. А.А. Быков, Письма в ЖЭТФ **100**, 891 (2014).
23. А.Л. Эфрос, ЖЭТФ **89**, 1834 (1985).
24. G. Ebert, K. von Klitzing, K. Ploog, and G. Weimann, J. Phys. C: Solid State Phys. **16**, 5441 (1983).
25. J.A. Alexander-Webber, A.M.R. Baker, P.D. Buckle, T. Ashley, and R.J. Nicholas, Phys. Rev. B **86**, 045404 (2012).
26. И.Л. Дричко, А.М. Дьяконов, В.Д. Каган, А.М. Крещук, Т.А. Полянская, И.Г. Савельев, И.Ю. Смирнов, А.В. Суслов, ФТП **31**, 1357 (1997).
27. I.A. Dmitriev, M.G. Vavilov, I.L. Aleiner, A.D. Mirlin, and D.G. Polyakov, Phys. Rev. B **71**, 115316 (2005).
28. J.Q. Zhang, S. Vitkalov, A.A. Bykov, A.K. Kalugin, and A.K. Bakarov, Phys. Rev. B **75**, 081305 (R) (2007).
29. J.Q. Zhang, S. Vitkalov, and A.A. Bykov, Phys. Rev. B **80**, 045310 (2009).